

京都大学工学部 正員 辻本 勝郎
 京都大学工学部 正員 中川 博次
 建設省 正員 富田 邦裕

著者らのこれまでの研究^{1),2)}により、河床波スペクトルの発達には、(1)河床における砂粒の不規則な離脱・落下を素過程とする河床高分散生成過程、(2)擾乱路床上の流れと流れ機構を内在する流砂との相互作用によって現れる砂面不安走機構による擾乱淘汰過程、(3)砂粒運動が河床形状に強く規制され、個々の粒の追いつき合体が生じることを素過程とする波数移行過程の3つのプロセスが存在することが指摘された²⁾。本報は、河床波スペクトルの特徴ある形態を形成するのに支配的と考えられる(2),(3)の機構に着目して実験・理論の両面から検討を行ったものである。(1)の機構については文献²⁾を参照されたい。

実験(長さ9m、幅33cmの可変勾配水路で中央粒径 $d = 0.17\text{cm}$ の砂を用いて行われた)によれば得られた河床波スペクトルの発達例を図-1に示す(図には一部の測定時刻のものだけ示してあり、実際に多くの測定結果より短い時間間隔で測定結果がある)。その特徴は、初期に鋭いピークが現れ、それに対応する波数はAiryの関係を満足する(図-2)こと、ピークは時間とともに鈍くなり低波数側へ移行し、最終的には「3乗則」をもとにした普遍表示可能なスペクトル形を呈する(図-3)ことである。このうち、初期に現れるピークが不安走機構の産物である。

砂面不安走機構が卓越する初期においてもなおかつ初期擾乱を生み出した分散生成過程が併存すること、その過程(1)の(2)河床高分散の時間的変化(σ_y^2/t)を説明し得ることから図-4に示されるよう規格化されたスペクトル($S_x = S/\sigma_y^2 t$)の変化が純粹に不安走機構のみに依るかと判断し、擾乱路床上の流れに別途抵抗則($\tau = \beta \rho U^2 (1 - \frac{2}{3} \frac{\lambda}{L})$)を考慮したボテンシャル流モデル⁴⁾を用い、流砂現象をEuler的に解釈された擾乱機構を内在したstochastic model⁵⁾を用いてFourier変換された砂面を対象として行った(線型)不安走解析によて求められたスペクトルの波数割増幅率(次式:無次元表示^{1),2)})と比較したもののが図-6である。図の上が実測、下が理論である。

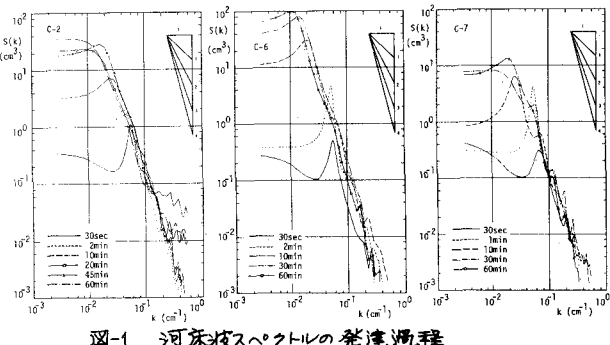


図-1 河床波スペクトルの発達過程

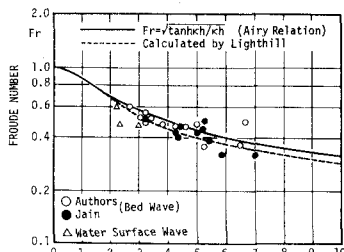


図-2 河床波スペクトルの初期ピークに対応する波数とFröde数の関係

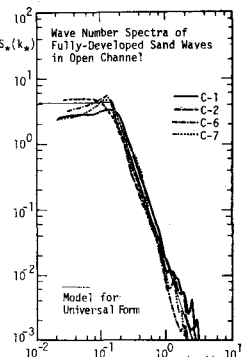


図-3 平衡状態の河床波スペクトル

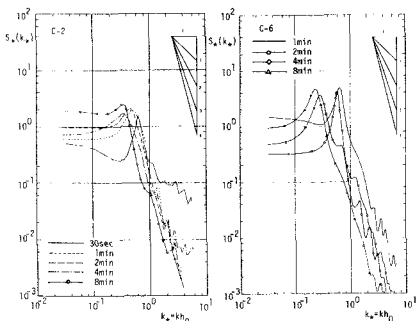


図-4 初期発達過程における河床波スペクトルの規格化表示

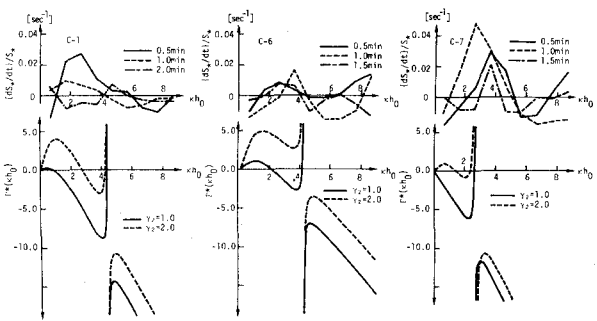


図-5 砂面不安走機構による波数連続的増幅(スペクトル増幅率)

$\Gamma^*(t\chi_0) = -\frac{(k\chi_0)^2}{1+(k\chi_0)^2} \{ 2(R+1) + 2k\chi_0 F_* \}$ ① ただし, $R_* = \frac{Fr_*^2 k \cosh \chi_0}{Fr_*^2 k \coth \chi_0 - \tanh \chi_0}$, $F_* = \frac{1 - Fr_*^2 \coth \chi_0}{\tanh \chi_0 - Fr_*^2 \coth \chi_0}$
である。また、 χ_0 は平均step lengthで、著者が「到達率」としてpick-up rateの推進式²⁾と流砂量についてのスイス公式から逆算によつて求め、 $\chi_0 = \gamma_2 / Fr_*^2$, $\gamma_2 = 1.2$ ³⁾とした。

図-6 河床波の発達に伴う

水面波の波数スペクトルの変化

2) Airy波の波数 (R_* の分母=0)

2) ピークが現れ、それが固定

していることがわかる。このよう

に不不定構構は水面の存在

が大きく影響していることが知

られたので、次に図-7のように

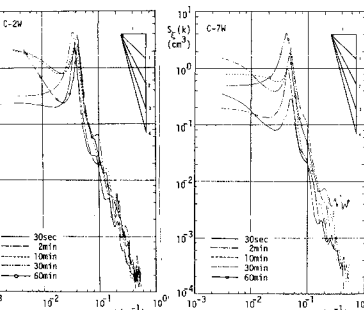


図-6 河床波の発達に伴う水面波の波数スペクトル

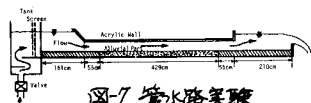


図-7 管水路実験

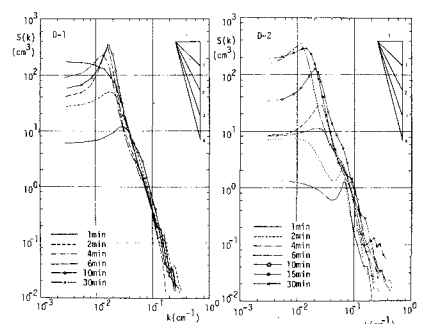


図-8 管路内河床波のスペクトルの発達過程

うち本質的には(2)の不不定構構のみで式①の R_* , F_* が異なる。ホテンタル流理論を適用すると $R_* = 0$, $F_* = \coth kD_0$ (D_0 は初期平坦河床面からアクリル壁までの高さ)であり、 $\chi_0 = 6.0$ とした(管水路で $Fr = 0.4$ から $\chi_0 = 1.2$ を採用した値に近い)。Fourier 变換された砂面に不不定解析を適用して求められた無次元スペクトル増幅率は図-9に示す通りで、管水路と同様、これは対応している。

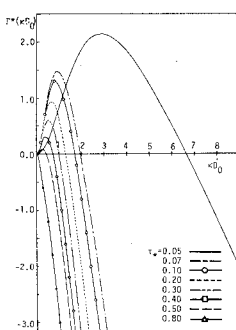


図-9 不不定構構によるスペクトルの発達率(理論)

考らるる規格化されたスペクトルの増幅率(図-10)と定性的に一致を見ることができる。

一方、波数移行過程は個々の波の追いつき合体を素事象といつあり、これが河床波の統計的性質に従つて考慮すると波数移行も確率的に生じている。いま波数 k のスペクトル成分が単位時間に波数 k' の成分に移行する割合を $p(k, k')$ とすると(図-11 参照)、この過程によるスペクトルの増加率 $\frac{ds(k)}{dt}|_C \approx \frac{2}{\pi} \int_{k'}^{\infty} S(k') p(k, k') dk'$ である。波数 k の移行速度を $Ca(k) = |\frac{dk}{dt}|$ とすると $p(k, k') \approx 1/\int_{k'}^{k} Ca(k') dk'$ であるから $Ca(k)$ の評価が重要であることがわかる。波数移行はほとんどの全波数域で亘つてこれが分離・抽出して評価するのは難しいが、ピーカーに着目することでその概要は知られるよう。実験結果から得られる kp の時間的変化(図より $|dp/dt|$)と kp の関係を調べたのが図-12で、これより、 $|dp/dt| \sim kp^3$ が予想され、これは次のよう追いつき合体モデル⁴⁾からの推論と一致する。

$$L(\text{平均波長}) \sim \sqrt{k}, \quad kp \sim 1/L \sim t^{-\frac{1}{2}} \quad \therefore \frac{1}{kp} \sim t^{\frac{1}{2}} \sim kp^3$$

このとき、 $\int_{k'}^k \frac{dk}{Ca(k)} = \frac{1}{kp} - \frac{1}{kp'} \approx \frac{1}{kp} (kp' \gg kp)$ であるから、 $\frac{dp}{dt}|_C \approx \frac{2}{\pi} \int_{kp'}^{\infty} S(k') dk' / kp^3$ が予想される。なお、河床波発達の末期ではこの波数移行過程のみが残り、しかもそれ自身が零となるところが平衡波数域の平衡状態が形成される。このとき $\frac{dp}{dt}|_C \int_{kp'}^{\infty} S(k') dk' / kp^3 = 0$ となり、スペクトルの「3乗則」($S(k) \sim k^{-3}$)が得られる。この時点においても余程高波数域では分散生成過程が現存し、一方 $k < kp_0$ (限界波数)では遮蔽過程が現れる。今後(1)-(3)のそれらを評価した後の統合化、それらの変質についても検討してゆきたい。

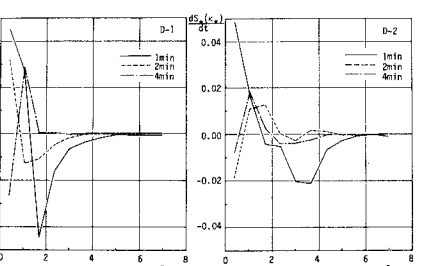


図-10 管路内河床波の規格化されたスペクトルの波数別増幅率(実験結果)

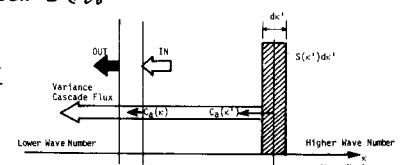


図-11 波数移行過程の概念図

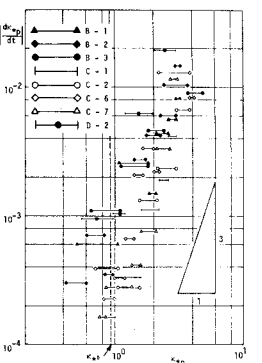


図-12 ピーカーに着目した波数移行速度
(1)中川・川口: 36回車輪, 2)中川・川口: 26回車輪,
3)中川・川口: 土輪305, 4)中川・川口: 土輪241,
5)白野: J.R.M. 168, 6)中川・川口: 土輪240,
7)中川・川口: 土輪244, 8)中川立・高橋: 17回車輪
9)中川・川口: 第一大河研究年報1981, 1982.